

Рис. 2. Гібридний кільцевий міст

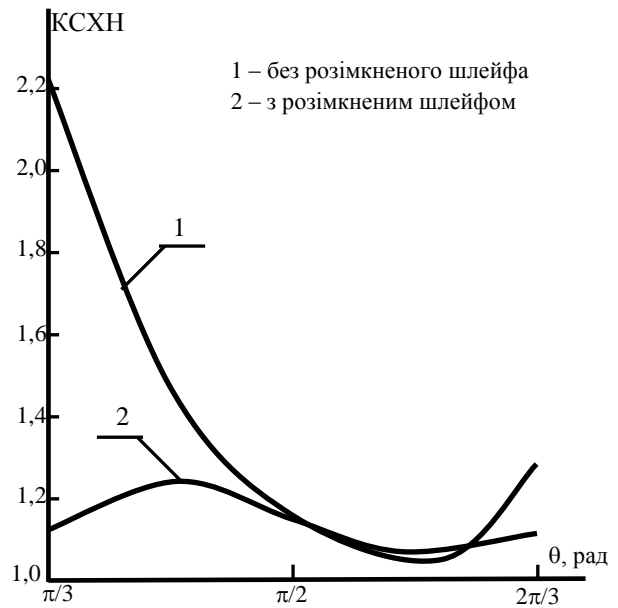


Рис. 4. Графіки залежності коефіцієнта стоячої хвилі по напрuzzi від фазового кута θ

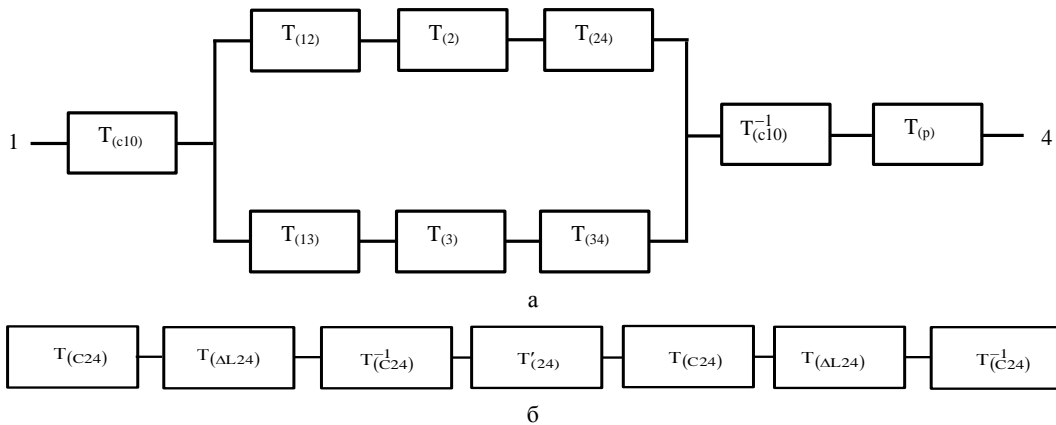


Рис. 3. Модель для розрахунку коефіцієнта стоячої хвилі по напрuzzi

$$[T_{(34)}] = [T_{(c34)}] \cdot [T_{(\Delta L_{34})}] [T_{(c34)}^{-1}] \cdot [T'_{(\Phi)}] [T_{(c34)}] \times \\ \times [T_{(\Delta L_{34})}] [T_{(c34)}^{-1}],$$

а матриця $[T_{(24)}]$ визначалась з моделі, приведеній на рис. 3, б:

$$[T_{(24)}] = [T_{(c24)}] \cdot [T_{(\Delta L_{24})}] [T_{(c24)}^{-1}] \cdot [T'_{(24)}] [T_{(c24)}] \times \\ \times [T_{(\Delta L_{24})}] [T_{(c24)}^{-1}],$$

де $[T_{(c24)}]$ – матриця стрибка опорів від опору Z_0 до $Z_{\Delta L_{24}}$ – опору відрізка лінії ΔL_{24} ; $[T_{(\Delta L_{24})}]$ – матриця передачі відрізка лінії ΔL_{24} ; $[T_{(c24)}^{-1}]$ – матриця, зворотна до $[T_{(c24)}]$; $[T'_{(24)}]$ – матриця передачі відрізка лінії довжиною L'_{24} , де $L'_{24} = L_{24}(1 - 2\Delta L_{24}/L_{24})$;

І, нарешті, матриця передачі розімкненого шлейфа $[T_{(p)}]$ визначалась відповідно з роботою [4]:

$$[T_{(p)}] = \begin{bmatrix} 2 + \alpha & -\alpha \\ \alpha & 2 - \alpha \end{bmatrix}, \quad (1)$$

де $\alpha = j \frac{Z_p}{Z} \operatorname{ctg} \theta$, Z_p – хвильовий опір розімкненого шлейфа; $\theta = \frac{2\pi}{\lambda}$, λ – довжина хвилі випромінювання.

Після визначення $[T_{(14)}]$ – матриці передачі від входу 1 до входу 4 визначаємо коефіцієнт стоячої хвилі по напрuzzi (КСХН) у вигляді:

$$\text{КСХН} = \frac{(1 + |S_{22}|)}{(1 - |S_{22}|)}, \quad (2)$$

де $S_{22} = -\frac{T_{(14)12}}{T_{(14)11}}$ – коефіцієнт відбиття з боку лінії 4.

Найменше значення КСХН у діапазоні частот (2:1) було одержане при $L_p = L_k$ і $Z_p = Z/\sqrt{3}$. Результати розрахунків для кільця з розімкненим шлейфом і без нього в діапазоні довжин хвиль (2:1) наведені на рис. 4, з якого видно, що у відсутності розімкненого шлейфа найбільший КСХН складає 2,22, а з розімкненим шлейфом він не перевищує 1,24.

Висновки

Модифікація гібридного кільця заміною в плечі, суміжному зі смуговим фільтром відрізка лінії передачі таким же, але скороченим на довжину конструктивних відрізків на краях смугового фільтра і замкненим на кінцях короткозамкненими шлейфами такої ж довжини, як і відрізок лінії передачі плеча, призводить до електричної симетрії кільця відносно осі, яка проходить через входи 1 і 4, що робить розв'язку між цими входами частотно незалежною, але при цьому погіршується КСВН входу 4, найбільше значення якого досягає 2,22. Застосування на вході кільця розімкненого шлейфа дозволяє покращити узгодження кільця з боку входу 4 і при цьому КСВН в діапазоні частот (2:1) не перевищує 1,24.

Список літератури

1. Бакуменко В.М., Чебiтько А.Є., Шитоха Т.П. Гібридне кільце НВЧ-діапазону // Радіотехніка: Всеукр. міжвід. наук.-техн. зб. – 2007. – Вип. 150. – С. 112-115.
2. Бакуменко В.М. Гібридний кільцевий міст // Патент України № 14470, заявл. 25.11.2005, опубл. 15.06.2006, Бюл. № 5.
3. Бакуменко В.М. Гібридний кільцевий міст // Патент України № 29984, заявл. 13.07.2007, опубл. 11.02.2008, Бюл. № 3.
4. Фельдштейн А.Л., Явич Л.Р., Смирнов В.П. / Справочник по элементам волноводной техники. – М.-Л.: Госэнергоиздат, 1963. – 360 с.

Надійшла до редколегії 10.06.2008

Рецензент: д-р техн. наук, проф. В.Д. Сахацький, Українська інженерно-педагогічна академія, Харків.

МИКРОВОЛНОВОЕ ГИБРИДНОЕ КОЛЬЦО

В.М. Бакуменко, С.В. Петров

Проведен анализ микроволнового гибридного кольца, показаны ограничения, вызванные особенностями его конструкции, предложена методика их устранения с целью симметрирования кольца относительно его входов. Достигнуто согласования кольца включением на его входе разомкнутого шлейфа. Проведено исследование коэффициента стоячей волны по напряжению кольца, приведены результаты расчетов в диапазоне длин волн 2:1.

Ключевые слова: гибридное кольцо, микроволновой диапазон, полосный фильтр, шлейф.

THE MICROWAVE HYBRID RING

V.M. Bakumenko, S.V. Petrov

The analysis of microwave hybrid ring is conducted, limitations, caused the features of his construction, are rotined, the method of their removal is offered with a purpose balancing of ring in relation to his entrances. The concordance of ring is attained including on his entrance of the broken a secret loop. Research of coefficient of standing wave is conducted on tension of ring, the results of calculations are resulted in the range of lengths of waves 2:1.

Keywords: hybrid ring, microwave range, bar filter, loop.